

## 斜角支持される並列主析曲線橋の特性

## —とくに支点反力分布について—

九州大学工学部 正員 彦坂 照

○内谷 保

図-1に示すような両端が橋軸と任意の角度で斜角支持される並列主析曲線橋においては、その特性や支点反力を顕著に現われることが知られる。本論は、差分法を用いてかかる構造の解析を行ない、とくに支点反力分布について実験結果と併せ考察したものである。

図-1において、各桁の左端支承上から任意点までの曲線長を $s$ とし、任意の主析れのたわみおよびねじり角をそれぞれ $y_n$ ,  $\theta_n$ とする。そして、主析れに作用する鉛直荷重強度およびねじりモーメント荷重強度をそれぞれ $m_n$ ,  $t_n$ とすれば、主析れに肉12次の2つの釣合方程式が得られる。

$$\left. \begin{aligned} EI_n \left\{ \frac{d^4 y_n}{ds^4} - \frac{\mu_n d^2 y_n}{R_n^2 ds^2} + \frac{1 + \mu_n}{R_n} \frac{d^2 \theta_n}{ds^2} \right\} &= \bar{g}_n + V_n - \bar{V}_n \\ -GJ_n \left\{ \frac{d^2 \theta_n}{ds^2} - \frac{\theta_n}{R_n^2 \mu_n} - \frac{1 + \mu_n}{R_n \mu_n} \frac{d^2 y_n}{ds^2} \right\} &= t_n - m_n - \bar{m}_n \end{aligned} \right\} \quad (1)$$

ここに、 $EI_n$ ,  $GJ_n$ : 主析れの曲げ剛性およびねじり剛性,  $\mu_n = GJ_n/EI_n$ 。また、式(1)の右辺の $\bar{g}_n$ ,  $\bar{V}_n$ および $m_n$ ,  $\bar{m}_n$ は主析れと横析との結合力で、横析の剛性マトリックスを介して表すことができる。

図-2のように各主析れを $m$ 等分し、左端より差分点 $1, 2, \dots, m+1$ を設ければ主析れの差分間隔は $\lambda_n = R_n \phi_n/m$ で与えられる。この $\lambda_n$ を用いて式(1)を差分化すれば、各差分点の変形量(および $\theta$ )を未知数とする連立一次方程式が得られ、この変形量を用いて各主析れの支点反力が次のように求められる。

いま、任意の主析れの左支点近傍を考え、図-3のように支点から $\lambda_n/2$ の長さに作用する力の釣合を考慮すれば次式が得られる。

$$R_1^n = \bar{g}_1^n \frac{\lambda_n}{2} + V_{1+\frac{1}{2}}^n + \frac{\lambda_n}{2} (V_n - \bar{V}_n) \quad (2)$$

ここに、 $R_1^n$ : 主析れの左支点の支点反力,  $\bar{g}_1^n$ : 主析れに作用する鉛直荷重強度,  $V_{1+\frac{1}{2}}^n$ : 主析れの左支点から $\lambda_n/2$ の断面に作用するセん断力で、単純支持の境界条件を考慮した次のようだ左支点近傍の差分点の変形量を表す。

$$V_{1+\frac{1}{2}}^n = -l_1^n y_3^n + (z_1^n + \frac{y_1^n}{R_n^2}) y_2^n - l_1^n \frac{\lambda_n^2}{R_n} \{(1 + \mu_n) \theta_2^n - \mu_n \theta_1^n\} \quad (3)$$

ここで、 $l_1^n = EI_n/\lambda_n^3$ ,  $y_1^n = GJ_n/\lambda_n z^n$ ,  $y_2^n$ ,  $y_3^n$ および $\theta_1^n$ は主析れの差分点3, 2, 1のたわみおよびねじり角を表す。また、 $\bar{g}_1^n$ ,  $\bar{V}_n$ は前述した通り主析れと横析との結合力で、差分点の変形量(および $\theta$ )に

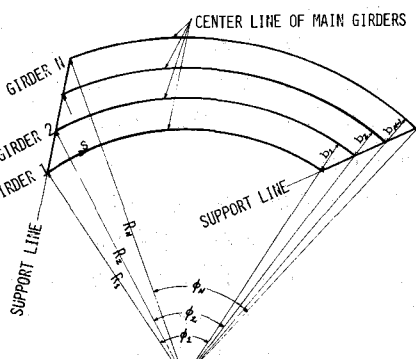


図-1

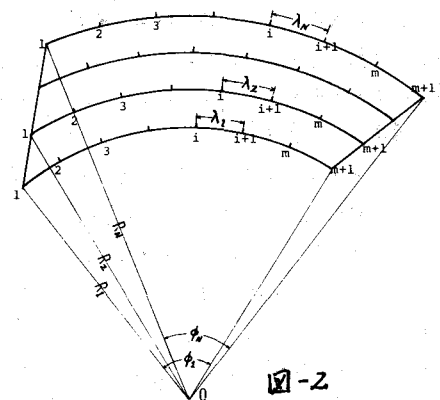
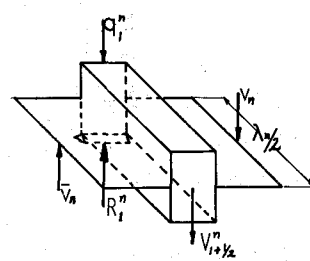


図-2



LEFT SUPPORT OF GIRDER n

図-3

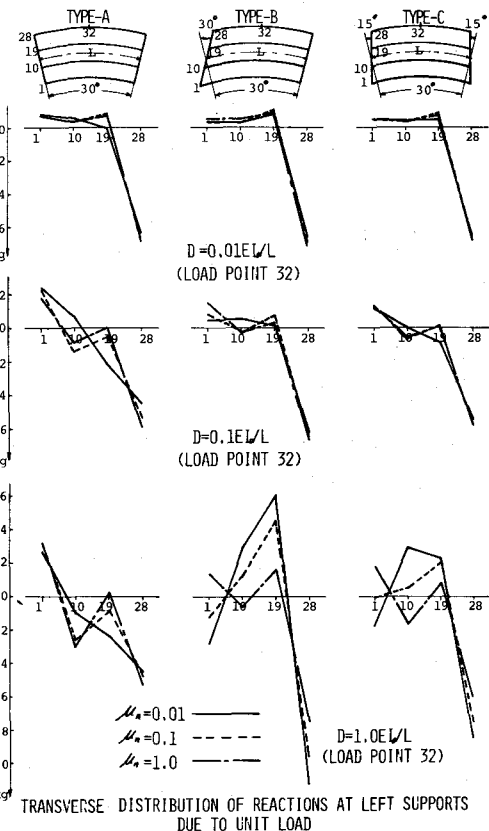
より表わされる。主析の右支点の支点反力についても同様に求められる。

計算例 図-4のようなタイア A, B, C の 3 種類の平面形状をもつ 4 主析曲線橋を考え、スペン L(幅員中心の曲線長)、中心角  $\phi = 30^\circ$ 、主析間隔  $b = L/10$

は共通とする。各主析を 8 等分し差分点番号を内析の左端の S 噴に 1, 2, ..., 36 と設ける。いま、外析中点 32 に準位集中荷重を載荷したときの各主析左支点 1, 10, 19 および 28 の支点反力を、 $M = GJ/EI$  を  $0.01$ ,  $0.1$ ,  $1.0$  および横析の換算剛性 D を  $0.01$ ,  $0.1$ ,  $1.0EI/L$  とそれぞれ変化させ求め、その支承線方向の分布を図-4 に示した。これより、橋軸直角方向(横析)の換算剛性が剛性 D が非常に小さい場合は、主析のねじり剛性の大小にかかわらず斜角支持の特性はほとんど現われないことわかる。また、橋軸直角方向の曲げ剛性 D が大きく、主析のねじり剛性が非常に小さい場合には斜角支持の特性が顕著で、タイア A の反力は右下りのほぼ直線的な分布を示すが、タイア B, C では極めて不均一な分布となる。主析のねじり剛性が大きい場合は、橋軸直角方向の曲げ剛性の大小にかかわらず定性的には斜角支持の特性はほとんどなくなり内析から外析に向かって N 形の分布を示す。しかし、各タイアの同一支点の支点反力の値にはかなりの差異がある。なお、以上の算例はすべて支点のねじりが拘束されない場合のものであり、端対傾構や端横析により支点のねじりが拘束される場合の結果については講演当日発表する。

次に、アクリル樹脂で作製した図-5 に示す 2 種類の平面形状を有する 4 主析曲線橋( $I_1 \sim I_4 = 13.89 \text{ cm}^4$ ,  $GJ/EI = 0.0097$ ,  $b = 8 \text{ cm}$ )について、外側 2 主析の中点 23 と 32 に集中荷重を載荷したときの各主析左支点の支点反力を圧縮型ロードセルで測定し、本理論値と併せ図-5 に示した。また特例として斜角  $45^\circ$  の 4 主析直線橋についても実験を行ない、その結果を本理論値と併せ図-6 に示した。理論値は実験値と概ね一致しており、本理論により斜角支持構梁の特性を十分つかむことができると思われる。

[参考文献] 1) 彦坂、内谷、大塚: 非扇形曲線橋の解析、土木学会第29回年次学術講演会概要集、昭.49年10月  
2) 彦坂、内谷、石丸: 不整平面形状をもつ直線および曲線橋の性状について、土木学会第30回年次学術講演会概要集、昭.50年



TRANSVERSE DISTRIBUTION OF REACTIONS AT LEFT SUPPORTS DUE TO UNIT LOAD

図-4

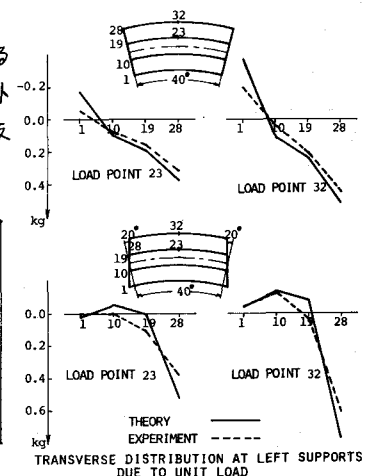


図-5

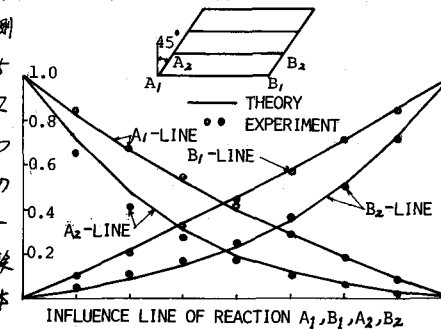


図-6